

# روشی جدید برای اختفای خطای در فریم‌های ویدئو با استفاده از شبکه عصبی RBF

حسین قانعی یخدان

دانشکده مهندسی برق و کامپیوتر، دانشگاه یزد، یزد، ایران

## چکیده

ارسال ویدئوی فشرده شده در کانال‌های مستعد خطای ممکن است سبب اتلاف در بسته‌های ویدئو شود که این می‌تواند کیفیت تصویر را کاهش دهد. اختفای خطای، یک رهیافت مؤثر جهت کاهش اتلاف ناشی از اطلاعات از دست رفته است. شبکه‌های اختفای خطای زمانی متداول، همیشه در مواقعي که شیء ویدئو دارای حرکات غیرعادی باشد، کارایی خود را از دست می‌دهند. در این مقاله، به منظور غلبه بر این مشکل، یک رهیافت اختفای خطای زمانی کارآمد جهت پنهان‌سازی خطای ماکروبلاک برای سامانه‌های کدگذار ویدئو پیشنهاد می‌شود. روش پیشنهادی از یک شبکه عصبی RBF برای تخمین بردارهای حرکت ماکروبلاک‌های آسیب‌دیده استفاده می‌کند. تخمین زن RBF فقط برای نواحی ویدئو با حرکات سریع استفاده می‌شود، که این پیچیدگی محاسبات را کاهش می‌دهد. به دلیل ظرفیت بزرگ شبکه‌های عصبی در تجسم و تفسیر مجموعه‌های داده با ابعاد بالا، روش پیشنهادی می‌تواند بردارهای حرکت آسیب‌دیده در نواحی با حرکت سریع را به درستی تخمین بزند. نتایج تجربی نشان می‌دهد که شیوه پیشنهادی، کیفیت ذهنی و عینی فریم‌های بازسازی شده را ارتقا می‌دهد؛ به طوری که میانگین بیشینه نسبت سیگنال به نویه برای دنباله‌های مورد آزمایش در بعضی از فریم‌ها حدود  $1/5$  dB نسبت به روش BMA افزایش می‌یابد.

واژگان کلیدی: اختفای خطای زمانی، شبکه عصبی RBF، تخمین بردار حرکت، جبران‌سازی حرکت.

## ۱- مقدمه

عمل کرد بهتر را می‌توان با جایگزینی بردار حرکت ماکروبلاک متناظر با موقعیت مکانی یکسان با ماکروبلاک آسیب‌دیده در فریم قبل (Ghanbari, 1993) به دست آورد. روش اخیر برای وقتی که حرکت در صحنه ویدئو هموار باشد مناسب است.

روش دیگر، استفاده از میانگین (<sup>۲</sup>AVE) و یا میانه Pyun and Choi, 2008; SuhandHo, 1999; Suh (MED<sup>۳</sup>) (andHo, 1997) بردارهای حرکت ماکروبلاک‌های مجاور ماکروبلاک آسیب‌دیده در فریم جاری است. نتایج حاصل از پیاده‌سازی نشان داده است که در بین این روش‌های تخمین بردار حرکت، روش میانه بهترین عمل کرد را دارد.

علی‌رغم به کارگیری ابزارهای مقاوم‌سازی خطای در محیط‌های مستعد خطای، هنوز هم امکان رخ دادن خطای در داده‌های ارسالی وجود دارد. به منظور کاهش اثر خطای روی ویدئو بازسازی شده، روش‌هایی مبتنی بر اختفای خطای در کدگشا ارائه شده است. ساده‌ترین این روش‌ها، جانشین‌سازی زمانی (TR<sup>۱</sup>) (Haskell and Messerschmitt, 1992) است که در آن تمام بردارهای حرکت آسیب‌دیده با صفر جایگزین شوند. عیب این روش این است که، برای دنباله‌های ویدئو با حرکات کم و آهسته پاسخ نسبتاً خوبی می‌دهد، اما در حضور حرکات بزرگ در صحنه ویدئو عمل کرد نامطلوبی دارد.

<sup>2</sup> Average  
<sup>3</sup> Median

<sup>1</sup> Temporal Replacement (TR)

واریانس بردارهای حرکت مرزی و یا درونیابی برای تخمین بردار حرکت مکروبلاک آسیب‌دیده استفاده می‌شود. الگوریتم دیگری برای همین استانداره بر پایه چند فرم مرجع که از الگوریتم تطبیق مرز وزن دارشده بهره می‌گیرد، توسط زانگ و لیو (Zhang and Liu, 2010) پیشنهاد شده است.

یک روش دیگر، بازیابی بردار حرکت با استفاده از شباهت بین زاویه بردارهای حرکت مکروبلاک‌های همسایه مکروبلاک آسیب‌دیده (Pongpadpinit, 2009) است که در آن با فرض این که گروهی از مکروبلاک‌ها که متعلق به یک شیء هستند، مسیر حرکت یکسانی دارند، بردار حرکت مکروبلاک آسیب‌دیده تخمین زده می‌شود. روش‌های متداول برای اختفای خطای خطای زمانی که به آنها اشاره شد، هنگام وجود حرکات سریع و پیچیده در صحنه ویدئو کارابی خود را از دست می‌دهند. برای رفع این مشکل می‌توان از خاصیت غیرخطی شبکه‌های عصبی بهره گرفت. در این راستا، هانگ و لین (2006)، Huang and Lien، (Huang and Lien, 2006) روشی ارائه کرده‌اند که در آن یک شبکه عصبی نگاشت خودسازمانده (<sup>4</sup>SOM<sup>4</sup>) (Kohonen, 1988) به عنوان پیش‌بینی‌کننده جهت تخمین بردارهای حرکت مکروبلاک‌های آسیب‌دیده به کار گرفته می‌شود. سپس از بردارهای حرکت تخمین زده شده برای بازسازی مکروبلاک آسیب‌دیده با بهره‌گیری از اطلاعات مکانی فریم‌های مرجع بر پایه معیار تطبیق مرز (BMA) (Lam, Reibman and Liu, 1993) استفاده می‌شود.

یک روش تخمین بردار حرکت با استفاده از شبکه عصبی GRNN<sup>5</sup> توسط شائو و چن (Shao and Chen, 2011) پیشنهاد شده است. در روش ارائه شده، ابتدا با اطلاعات بردارهای حرکت همسایه‌های افقی و عمودی مکروبلاک آسیب‌دیده و به کار گیری روش CV<sup>6</sup> (Liu, 2006)، بهترین مقدار برای واریانس شبکه GRNN محاسبه و از آن برای تخمین بردار حرکت مکروبلاک آسیب‌دیده استفاده می‌شود.

قانعی و خدمی (قانعی و خدمی، ۱۳۹۰) یک روش بیویا جهت تخمین بردارهای حرکت مکروبلاک آسیب‌دیده پیشنهاد کرده‌اند. در روش مذکور، بر اساس تغییر اندازه

(Narura and Lim, 1997). عیب سه روش مذکور این است که باید همبستگی بین فریم‌های ویدئو زیاد باشد تا عمل کرد قابل قبول داشته باشند.

لام و همکاران (Lam, Reibman and Liu, 1993) یک الگوریتم تطبیق مرز (BMA<sup>1</sup>) جهت جستجوی بردار حرکت آسیب‌دیده بر پایه قید همواری مکانی روی مرزهای مکروبلاک آسیب‌دیده ارائه کرده‌اند. در این روش بردار حرکت آسیب‌دیده از میان چندین بردار نامزد که انحراف کل بین مرزهای مکروبلاک آسیب‌دیده و بردارهای مجاور را حداقل می‌سازد، انتخاب می‌شود. روش BMA، به نتایج خیلی امیدبخش در کمینه کردن خطای پیش‌بینی بردار حرکت مکروبلاک آسیب‌دیده می‌رسد. این روش، نیز محدودیت‌های قابل توجهی دارد. اول این که در بسیاری از موارد ممکن است هر چهار خط پیکسل‌های مرزی، موجود نباشند و دوم این که، این روش هنگامی که پیکسل‌های موجود در لبه‌ها هموار هستند، کیفیت رضایت‌بخشی را فراهم می‌کند. چنانچه پیکسل‌ها، تغییرات ناگهانی داشته باشند یا هر چهار مرز موجود نباشند، کارابی آن به طور چشم‌گیری تنزل می‌یابد.

یک شیوه اختفای خطای دومرحله‌ای برای دنباله‌های ویدئو که با خطای دریافت می‌شوند، توسط چن و همکارانش (Chen, et al, 2008) پیشنهاد شده است. در مرحله اول، یک الگوریتم تطبیق مرز بر پایه اطلاعات زمانی و مکانی جهت بازسازی بردارهای حرکت از دست رفته ارائه شده است. در مرحله دوم، به جای استفاده مستقیم از مکروبلاک‌های متناظر در فریم مرجع، الگوریتمی بر اساس PDE<sup>2</sup> برای ارتقای کیفیت ویدئوی دریافتی پیشنهاد شده است. به هر حال، روش ارائه شده هیچ تفاوتی بین نواحی ویدئو با حرکات سریع و غیرعادی با سایر نواحی در نظر نمی‌گیرد.

هانگ و همکارش (Huang and Yi, 2009) یک الگوریتم اختفای خطای زمانی برای استاندارد H.264 پیشنهاد کرده‌اند که به طور مؤثر از بردارهای حرکت مکروبلاک‌های همسایه بهره‌برداری می‌شود. در روش پیشنهادشده، ابتدا پارامتری به نام MSNA<sup>3</sup> محاسبه شده، سپس بر اساس مقدار آن یکی از روش‌های کمینه کردن

<sup>4</sup> Self-Organizing Map (SOM)

<sup>5</sup> General Regression Neural Network (GRNN)

<sup>6</sup> Cross Validation

<sup>1</sup> Block Matching Algorithm (BMA)

<sup>2</sup> Partial Differential Equation (PDE)

<sup>3</sup> Motion Strength of Neighboring Area



در بخش چهار، روش پیشنهادی برای اختفای خطای زمانی شرح داده می شود. نتایج حاصل از پیاده سازی در بخش پنجم و به دنبال آن نتیجه گیری در بخش شش خواهد آمد.

## ۲- الگوریتم انطباق مرزی کلاسیک (BMA)

با توجه به این که برای ارزیابی روش پیشنهادی از روش BMA به عنوان یکی از روش های مرجع استفاده می شود، به اختصار این روش توضیح داده می شود.  
الگوریتم انطباق مرزی کلاسیک، برای بازیابی بردارهای حرکت آسیب دیده از بردارهای حرکت نامزد با حداقل سازی اعوجاج تطبیق مرزی بین مرزهای داخلی و خارجی ماکروبلاک بازسازی شده به کار می رود. فرض کنید که هر ماکروبلاک دارای  $M$  پیکسل باشد. همان طور که در شکل (۱) مشاهده می شود، مرزهای داخلی همان پیکسل های مرزی ماکروبلاک نامزد هستند، در حالی که مرزهای خارجی، پیکسل های مجاور مکانی ماکروبلاک آسیب دیده هستند.  $D1$  جمع قدر مطلق تفاصل این دو مرز است و به صورت زیر تعریف می شود:

$$D1(mvi, mvj) = \frac{1}{((Wn + Ws + Ww + We)M)} * [Wn \sum_{m=0}^{M-1} |f(i+m, j-1, n) - f(i+mvj, m, j+mvj, n-1)| + Ws \sum_{m=0}^{M-1} |f(i+m, j + M, n) - f(i+mvj, j + mvj + M-1, n-1)| + Ww \sum_{m=0}^{M-1} |f(i-1, j + m, n) - f(i+mvj + m, j + mvj + m, n-1)| + We \sum_{m=0}^{M-1} |f(i+M, j + m, n) - f(i+mvj + M-1, j + mvj + m, n-1)|] \quad (1)$$

که در آن  $f(i, j, n)$  نماینده فریم جاری و  $f(i, j, n-1)$  نماینده فریم مرجع متناظر است. زیرنویس های  $w, s, n$  و  $e$  به معنای شمال، جنوب، غرب و شرق هستند.  $(i, j)$  مکان پیکسل چپ - بالا در ماکروبلاک آسیب دیده جاری است.  $MV(mvi, mvj)$  بردار حرکت نامزد است. برای تمام جهت ها اگر ماکروبلاک مجاور آن جهت موجود باشد  $W=1$  و در غیر این صورت  $W=0$  است. این الگوریتم بر این حقیقت استوار است که پیکسل ها در تصویر اصلی دارای همبستگی بالایی هستند.تابع تغییرات  $D1$  برای هر مؤلفه، وابسته به موجود بودن آن ماکروبلاک است. جهت افزایش سرعت الگوریتم تنها تعداد کمی بردارهای حرکت نامزد در نظر گرفته می شود که اغلب شامل موارد زیر است:

▪ بردار حرکت برای ماکروبلاک مشابه مکانی در فریم قبلی؛

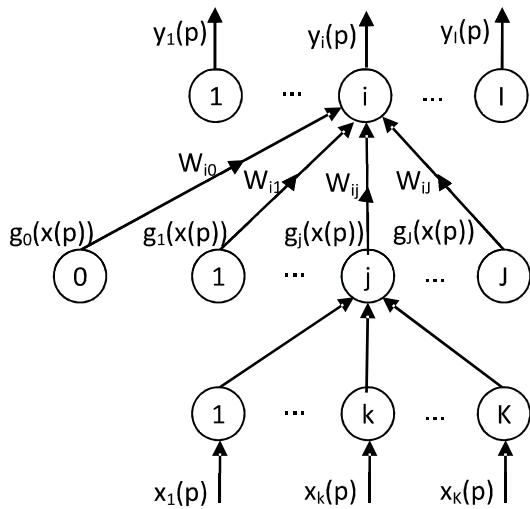
بردارهای حرکت ماکروبلاک های همسایه افقی و عمودی ماکروبلاک آسیب دیده، از یکی از دو روش پیش بینی کننده GRNN و روش BMA برای تخمین بردار حرکت ماکروبلاک آسیب دیده استفاده می شود. ویژگی این روش، توجه هم زمان به هر دو مسئله کیفیت ویژگی دریافتی و پیچیدگی محاسبات است که در روش های قبلی مدنظر قرار نگرفته است.

(Chen, Shao and Chen, 2011) چن و همکاران به منظور بهبود اختفای خطای زمانی در مخابرات ویدئو روشنی را ارائه کردند که در آن براساس تغییرات واریانس بردارهای حرکت ماکروبلاک های همسایه افقی و عمودی ماکروبلاک آسیب دیده، یکی از دو روش شبکه GRNN و MED (یا AVE) برای تخمین بردار حرکت ماکروبلاک آسیب دیده استفاده می شود.

روش های مبتنی بر شبکه های عصبی که به آنها اشاره شد، از بردارهای حرکت ماکروبلاک های پایین و راست ماکروبلاک آسیب دیده استفاده می کنند که اغلب، این بردارهای حرکت (ماکروبلاک سمت راست در استاندارد H.261 و ماکروبلاک پایین در استانداردهای H.263 و MPEG4) در دسترس نیستند (Abdul, 2002). همچنین در اکثر روش های مبتنی بر شبکه های عصبی، توجهی به ماهیت ویدئوی دریافتی نمی شود که این باعث کاهش کارایی این روش ها می شود. در این مقاله یک روش اختفای خطای زمانی جدید به منظور تخمین بردارهای حرکت ماکروبلاک آسیب دیده پیشنهاد می شود که در آن برای نواحی ویدئو با حرکات سریع و غیر عادی از شبکه عصبی تابع پایه شعاعی (RBF) و برای سایر نواحی از روش BMA به منظور تخمین بردار حرکت ماکروبلاک آسیب دیده استفاده می شود. روش پیشنهادی نیاز به بردارهای حرکت پایین و راست نداشته و به دلیل آن که پیش بینی کننده RBF فقط در نواحی ویدئو با حرکات سریع به کار گرفته می شود، پیچیدگی محاسبات آن کم است. نتایج حاصل از پیاده سازی، کارایی بهتر روش پیشنهادی را اثبات می کند.

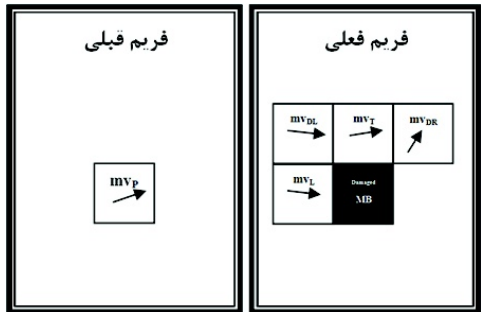
سایر بخش های مقاله چنین سازماندهی شده است. در بخش دو، به اختصار روش انطباق مرزی کلاسیک (BMA) که به عنوان یک روش مرجع از آن استفاده می شود، شرح داده می شود. معرفی اجمالی شبکه عصبی RBF و تخمین بردار حرکت با استفاده از آن، مطالب بخش سه خواهد بود.

<sup>1</sup> Radial Basis Function (RBF)



(شکل ۲): ساختار شبکه RBF

با اطلاعات بردارهای حرکت ماکروبلاک‌های مجاور ماکروبلاک آسیب‌دیده و نیز بردار حرکت ماکروبلاک با موقعیت مکانی یکسان با ماکروبلاک آسیب‌دیده در فریم قبلی، شبکه عصبی RBF قادر است بردار حرکت آسیب‌دیده را با دقّت خوب تخمین بزند. فرض کنید که  $mv_T$ ,  $mv_{DL}$ ,  $mv_L$  و  $mv_{DT}$  به ترتیب معرف بردارهای حرکت قطری راست، بالا، قطری چپ و چپ ماکروبلاک آسیب‌دیده باشند. همان‌طور که در شکل (۳) نشان داده شده است با این پنج بردار حرکت، یک بردار ورودی د بعدی برای شبکه RBF تشکیل می‌شود (هر بردار حرکت شامل دو بعد است). خروجی تخمین زن RBF یک بردار دو بعدی است که از آن برای تخمین بردار حرکت ماکروبلاک آسیب‌دیده استفاده می‌شود.



(شکل ۳): بردارهای حرکتی که به عنوان بردار ورودی شبکه RBF استفاده می‌شوند.

- بردارهای حرکت وابسته به ماکروبلاک‌های همسایه موجود؛

▪ میانه بردارهای حرکت ماکروبلاک‌های همسایه موجود؛

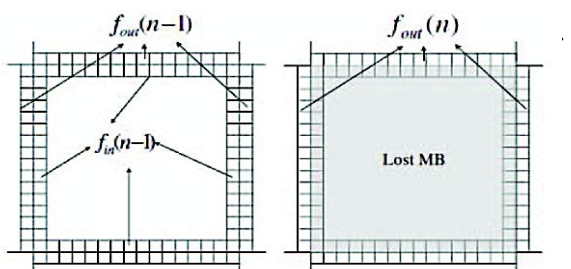
▪ میانگین بردارهای حرکت ماکروبلاک‌های همسایه موجود؛

▪ بردار حرکت صفر.

این روش، محدودیت‌های قابل توجهی دارد. اول این که در بسیاری از موارد ممکن است هر چهار خط پیکسل‌های مرزی، موجود نباشند و دوم این که، این روش هنگامی که پیکسل‌های موجود در لبه‌ها هموار هستند، کیفیت رضایت داشته باشند یا هر چهار مرز موجود نباشند، کارایی BMA به طور چشم‌گیری تنزل می‌یابد.

### ۳- تخمین بردار حرکت با شبکه RBF

شبکه عصبی RBF، در سال ۱۹۹۱ توسط پارک و ساندبرگ (Park and Sandberg, 1991 and 1993) معرفی شد. شکل (۲)، ساختار کلی شبکه RBF را نشان می‌دهد. همان‌طور که از شکل دیده می‌شود، این شبکه شامل دو لایه گره (به جز لایه ورودی که داده‌های ورودی به آن اعمال می‌شود) می‌باشد. خروجی گره‌های لایه مخفی در وزن‌های مناسب ضرب شده و خروجی RBF را تولید می‌کند. این شبکه در مسائل مربوط به تقریب توابع به عنوان تخمین زن کاربرد دارد. از این جهت در این مقاله از این شبکه عصبی برای تخمین بردارهای حرکت ماکروبلاک‌های آسیب‌دیده استفاده خواهیم کرد.



شکل ۱): روش انطباق مرز کلاسیک (Sun, M. T., Reibman, (A. R., Dekker, M., 2001



مقدار سطح آستانه Th بستگی به ماهیّت ویدئو (وجود حرکات غیرعادی)، کیفیّت ویدئوی دریافتی و پیچیدگی محاسبات داشته که در این مقاله برای دنباله‌های آزمون به طریق تجربی از پیاده‌سازی‌ها به دست آمدند. به عنوان نمونه مقادیر  $\|Ai\|$  برای دنباله آزمون "Suzie" از ۰ تا حدود ۲۱ تغییر می‌کند. در اجرای الگوریتم پیشنهادی، سطح آستانه را در این محدوده با ۵٪ تغییر داده که منجر به انتخاب مقدار ۲ برای Th شد.

در روش پیشنهادی به طور پویا از تخمین زن RBF و روش BMA برای تخمین بردارهای حرکت آسیب‌دیده استفاده می‌شود. اگر  $Th \geq \min(\|Ai\|)$  باشد، از روش RBF برای تخمین بردار حرکت استفاده شده و اگر  $Th < \min(\|Ai\|)$  باشد، از روش BMA جهت تخمین بردار حرکت استفاده می‌شود. البته به جای روش BMA می‌توان هر روش شناخته شده دیگری را به کار برد. الگوریتم اختفای خطای پیشنهادی بدون داشتن عیوب روش‌های قبلی، کارآمد و دارای پیچیدگی محاسبات کم بوده و لذا برای کاربردهای بی‌درنگ<sup>۱</sup> نیز مناسب می‌باشد.

## ۵- نتایج پیاده‌سازی برای روش پیشنهادی

به‌منظور پیاده‌سازی روش پیشنهادی، از دنباله‌های آزمون "Football" و "Suzie" با وضوح QCIF (اندازه فریم  $176 \times 144$  پیکسل)، و "Bus" با وضوح CIF (اندازه فریم  $352 \times 288$  پیکسل) استفاده شد. دنباله‌های ویدئو در فرمت  $4:2:0$  کدگذاری شده‌اند. اندازه ماکروپلاک‌ها در هر فریم  $16 \times 16$  در نظر گرفته شد. جهت محاسبه بردارهای حرکت ماکروپلاک‌ها از الگوریتم تطبیق‌پلاک با جستجوی کامل و شعاع جستجو  $p=7$  (Barjatya, 2004) استفاده شد. خطا در فریم‌های ویدئو به‌طور تصادفی و به صورت قطاری و با نرخ‌های اتلاف ماکروپلاک برابر با  $5\%$ ،  $10\%$  و  $20\%$  در هر فریم ایجاد شد. برای ارزیابی کیفیّت ویدئوی بازسازی شده از معیار حداکثر نسبت سیگنال به نویفه<sup>۲</sup> (PSNR) و میانگین آن که با روابط (۳) و (۴) تعریف می‌شوند، استفاده شد.

<sup>۱</sup> Real time

<sup>۲</sup> Peak Signal to Noise Ratio

در این مقاله اطّلاقات مکانی و زمانی از هر ماکروپلاک فاقد خطا (با بردار حرکت صحیح  $mv_C$ ) به عنوان یک نمونه آموزشی مورد استفاده قرار می‌گیرد. بدین ترتیب برای آموزش شبکه RBF، بردار ده بعدی تشکیل شده از بردارهای  $mv_p$  و  $mv_L$ ،  $mv_{DL}$ ،  $mv_T$ ،  $mv_{DR}$  از بردار دو بعدی  $mv_C$  به عنوان بردار خروجی (بردار هدف) استفاده می‌شود.

## ۴- روش پیشنهادی برای اختفای خطای زمانی

قبل از این‌که هر نوع شیوه اختفای خطای را بتوان به ویدئوی فشرده‌شده اعمال کرد، لازم است در ابتدا موقعیت ماکروپلاک‌های آسیب‌دیده تعیین شوند. در این مقاله، ما فقط روی مسئله اختفای خطای برای سامانه‌های کدگذاری ویدئو بر پایه فریم، مرکز خواهیم شد. وانگ و همکارش (Wang and Zhu, 1998) بعضی از روش‌های مؤثر برای آشکارسازی خطای در سامانه‌های کدبندی تصویر و ویدئو را بررسی کرده‌اند. این روش‌ها را می‌توان به‌طور مستقیم در سامانه‌های فشرده‌سازی ویدئو جهت آشکارسازی موقعیت ماکروپلاک‌های آسیب‌دیده اعمال کرد. بدین ترتیب فرض می‌کنیم که موقعیت ماکروپلاک‌های آسیب‌دیده شناخته شده است و صرفاً روند اختفای خطای را شرح خواهیم داد.

روندنمای روش پیشنهادی در شکل (۴) نشان داده شده است. به‌منظور کاهش پیچیدگی محاسبات، اختفای خطای با استفاده از شبکه RBF فقط برای نواحی حرکت زیاد اجرا می‌شود. جهت تعیین ماکروپلاک با حرکت زیاد، یک سطح آستانه Th و نیز وزیرگی  $Ai$  برای  $i \in \{DL, T, DR, L\}$  به صورت رابطه (۲) تعریف شده و از کمینه اندازه  $Ai$  یعنی  $\min(\|Ai\|)$  استفاده می‌شود.

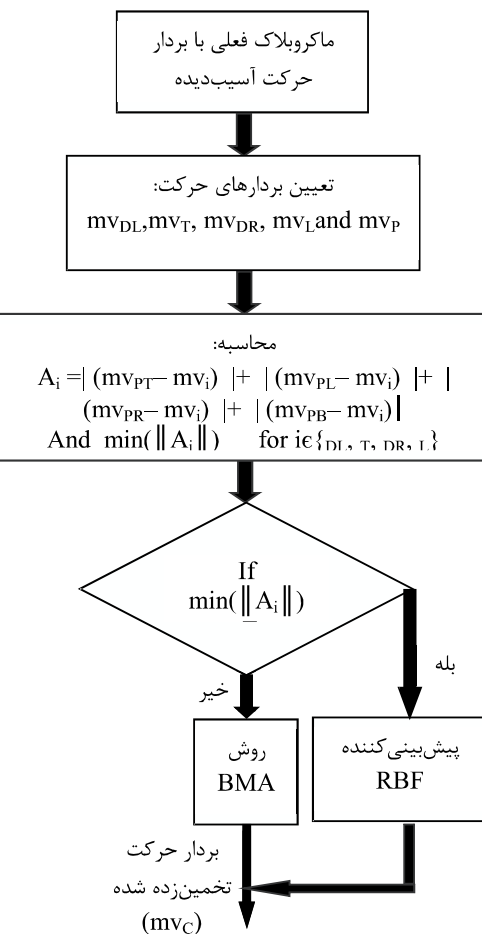
$$A_i = \min(\|mv_{PT} - mv_i\| + \|mv_{PL} - mv_i\| + \|mv_{PR} - mv_i\| + \|mv_{PB} - mv_i\|), \quad i \in \{DL, T, DR, L\} \quad (2)$$

درواقع مقدار  $\min(\|Ai\|)$  میزان انحراف بردار حرکت ماکروپلاک آسیب‌دیده با بردار حرکت ماکروپلاک متناظر با آن در فریم قبل را نشان می‌دهد. اگر  $\min(\|Ai\|) \geq Th$  باشد، حرکت ماکروپلاک، "زیاد" و اگر  $\min(\|Ai\|) < Th$  باشد، حرکت ماکروپلاک، "کم" تعیین می‌شود.

آستانه برای تولید نمونه‌های آموزشی خیلی کوچک‌تر از مقدار آن برای الگوریتم پیشنهادی در نظر گرفته شد تا صحت نتایج حاصله باد باشد.

شبکه عصبی مورد استفاده یک شبکه RBF با تابع newrb، تعداد سلول‌های لایه مخفی حداقل برابر با تعداد نمونه‌های آموزشی، منهای یک و خطای ۱/۰۰ هر کدام که زودتر اتفاق افتاد) انتخاب شد.

جهت ارزیابی روش پیشنهادی برای اختفای خطاء بردارهای حرکت ماکروبلاک‌های آسیب‌دیده را با روش‌های مختلف بازیابی کردیم. آنگاه عمل کرد الگوریتم پیشنهادی با شیوه‌های TR، MED، AVE و BMA روش مورد استفاده در مرجع (Huang and Lien, 2006) که از این به بعد آن را روش SOM می‌نامیم، مقایسه شد. جدول(۱)، مقداری میانگین حداکثر نسبت سیگنال به نویز ( $PSNR_{ave}$ ) برای دنباله‌های ویدئوی مورد آزمایش که با روش‌های مختلف اختفای خطأ بازسازی شده‌اند، در نرخ‌های متوسط اتفاق ماکروبلاک برابر با ۵٪، ۱۰٪ و ۲۰٪ را نشان می‌دهد. از این جدول دیده می‌شود که روش پیشنهادی قادر است در موقع وجود حرکات غیرعادی، بهتر از روش‌های متدالو که در این موقع کارایی لازم را ندارند، بردارهای حرکت آسیب‌دیده را تخمین بزند. دلیل آن این است که در چنین حالاتی که حرکات غیر عادی در صحنه ویدئو وجود دارد هم‌بستگی بین ماکروبلاک‌های یک فریم بسیار کم است. در این صورت روش‌های متدالو مانند روش BMA که بر اساس هم‌بستگی بین ماکروبلاک‌ها استوار است، نمی‌توانند بردارهای حرکت آسیب‌دیده را با دقّت خوب تخمین بزنند. بر عکس، در چنین حالتی، روش پیشنهادی می‌تواند از خواص غیرخطی شبکه‌های عصبی بهره گرفته و بردارهای حرکت را با دقّت بیشتری تخمین بزند. ضمن آن که پیچیدگی محاسباتی آن به میزان بسیار ناچیز از روش BMA بیشتر ولی خیلی کمتر از روش SOM است. شکل‌های ۵-الف) تا ۵-ج) مقداری بیشینه نسبت سیگنال به نویز ( $PSNR$ ) بر حسب تعداد فریم برای دنباله‌های مختلف آزمون در نرخ خطای ماکروبلاک برابر با ۱۰٪ را نشان می‌دهند. برای افزایش دقّت نتایج، پیاده‌سازی برای هر روش



## (شکل ۴): روند نمای روش پیشنهادی برای اختفای خطای زمانی

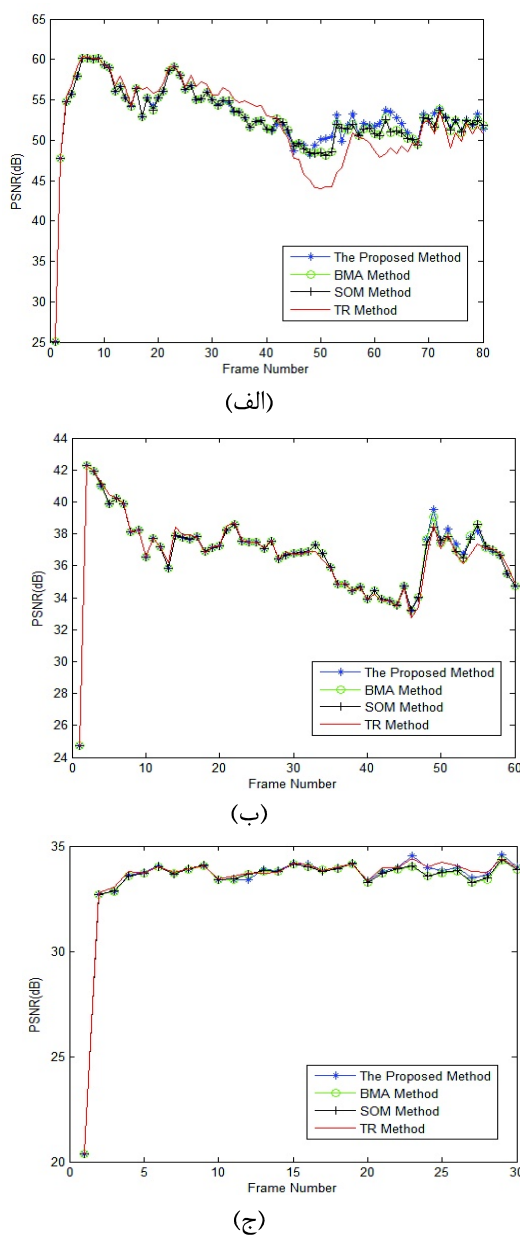
$$\text{PSNR} \stackrel{\text{def}}{=} \log_{10} \frac{255^2}{\frac{1}{N_1 \times N_2} \sum_{i=1}^{N_1} \sum_{j=1}^{N_2} [F(i,j) - \hat{F}(i,j)]^2} \quad (\text{W})$$

$$\text{PSNR}_{\text{ave}} \stackrel{\text{def}}{=} \frac{1}{N_{\text{fr}}} \sum_{k=1}^{N_{\text{fr}}} \text{PSNR}_k \quad (\dagger)$$

در روابط فوق، N1 و N2 اندازه فریم، (j,i) و (j,i) به ترتیب معرف مقادیر پیکسل های فریم های اصلی و  $N_{err}$  تعداد فهارس، مواد آمایش هستند.

جهت تولید بردارهای آموزشی، برای دنباله‌های مورد آزمون (Suzie و Football ۱۵۰ Bus فریم و ۲۶۰ Football فریم)، بردارهای  $mv_C$ ،  $mv_p$ ،  $mv_L$ ،  $mv_{DL}$ ،  $mv_T$ ،  $mv_{DR}$  در نظر گرفته شدند. اگر  $\min(\|Ai\|) \geq Th$  برقرار بود، بردار دو بعدی  $mv_C$  به عنوان خروجی مطلوب و پنج بردار باقیمانده به صورت یک بردار ده بعدی متضاد با ورودی به عنوان یک عضو مجموعه آموزشی مورد استفاده قرار داده شد. از این مجموعه بردارهای تولید شده که حدود ۴۰۰۰ نمونه آموزشی بود، برای آموزش شبکه RBF استفاده شد. سطح

همچنین روش TR برای دنباله‌های ویدئو با حرکت سریع عملکرد بدتری نسبت به سایر روش‌ها دارد.



(شکل ۵): مقادیر PSNR برای فریم‌های دنباله‌های آزمون، الف: Football، ب: Suzie، ج: BUS (متوسط نرخ اتلاف ماقروبلکها٪/۱۰)

نتایج پیاده‌سازی نشان می‌دهد که روش‌های AVE، TR و BMA نمی‌توانند به طور موفقیت‌آمیز ماقروبلک‌های واقع در نواحی با حرکت بالا و غیرعادی را بازسازی کنند. این بدان علت است که در این نواحی همبستگی بین ماقروبلک‌های آسیب‌دیده و ماقروبلک‌های مجاور آن در یک فریم خیلی کم است. از آنجا که این روش‌ها از نسبت‌های خطی مختلف برای تخمین بردارهای

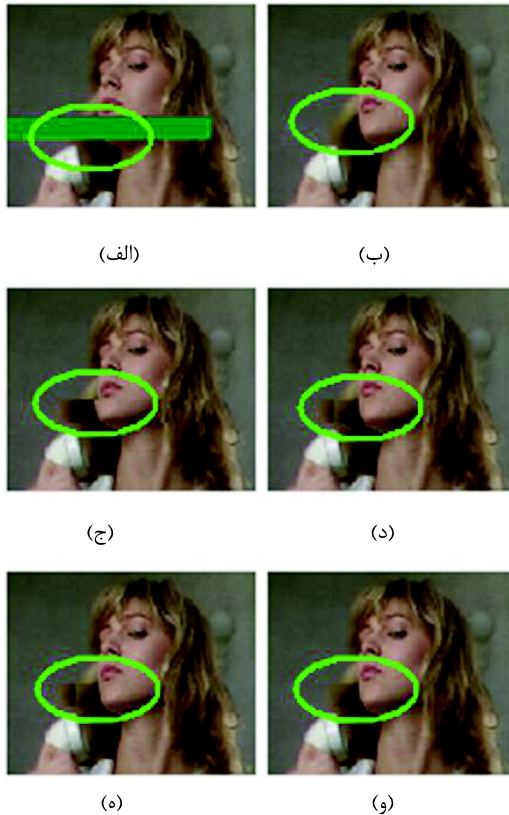
بیست مرتبه تکرار و از میانگین نتایج حاصله به عنوان نتیجه نهایی استفاده شد. اگر به منحنی‌های شکل (۵) توجه کنیم، مشاهده می‌شود که در تمام آنها در بعضی از فریم‌های خاص، روش پیشنهادی مقدار PSNR خیلی بالاتر را نسبت به روش‌های مورد مقایسه ارائه می‌دهد. این بدان علت است که در این فریم‌ها حرکات غیرعادی با همبستگی کم بیشتر از بقیه فریم‌ها وجود دارد. از طرفی میزان بهبود کیفیت در دنباله آزمون Suzie بیشتر از دنباله‌های آزمون دیگر است که دلیل آن وجود حرکات نامنظم بیشتر در بعضی از فریم‌های این دنباله آزمون است.

(جدول ۱): مقادیر PSNRave (بر حسب dB) برای دنباله‌های آزمون با روش‌های مختلف اختفای خطا

دنباله ویدئو	روش	متوسط نرخ اتلاف ماقروبلک		
		اختفای خطا	%۷.۵	%۱۰
Suzie	TR	۵۷/۴۳۵۸	۵۷/۰۵۰۰	۴۷/۲۰۸۷
	AVE	۵۷/۶۶۵۰	۵۷/۰۷۱۴	۴۸/۱۳۸۳
	MED	۵۷/۳۲۶۳	۵۷/۲۳۸۷۷	۴۷/۹۶۰۴
	BMA	۵۸/۳۷۴۷	۵۷/۹۴۲۰	۴۸/۰۲۶۴
	SOM	۵۸/۳۷۲۸	۵۷/۹۳۰۳	۴۸/۰۰۶۲
Football	روش پیشنهادی	۵۸/۴۳۴۹	۵۳/۱۸۸۳	۴۸/۱۵۸۱
	TR	۳۹/۹۹۲۱	۳۶/۷۱۲۱	۳۲/۸۶۲۶
	AVE	۳۹/۹۷۱۴	۳۶/۶۴۶۵	۳۲/۷۷۵۳
	MED	۳۹/۹۸۵۴	۳۶/۶۳۲۸	۳۲/۷۴۸۹
	BMA	۳۹/۸۹۵۶	۳۶/۷۸۰۶	۳۲/۷۷۸۱
Bus	SOM	۳۹/۸۹۵۴	۳۶/۷۶۶۷	۳۲/۷۷۰۵
	روش پیشنهادی	۳۹/۹۰۶۵	۳۶/۷۹۱۵	۳۲/۸۰۲۲
	TR	۳۵/۷۵۵۲	۳۳/۳۹۲۸	۳۰/۹۳۹۸
	AVE	۳۵/۶۴۱۰	۳۳/۲۶۸۲	۳۰/۸۳۰۰
	MED	۳۵/۶۹۱۱	۳۳/۳۲۶۱	۳۰/۸۶۷۶
	BMA	۳۵/۷۳۱۷	۳۳/۲۶۳۳	۳۰/۷۴۲۷
	SOM	۳۵/۷۵۸۱	۳۳/۲۷۸۰	۳۰/۷۵۰۵
	روش پیشنهادی	۳۵/۸۳۹۲	۳۳/۳۴۵۴	۳۰/۷۹۷۰

شکل (۶-الف)، فریم تخریب شده با نرخ متوسط اتلاف٪/۱۰ برای ماقروبلک‌ها و شکل (۶-ب)، یک فریم فاقد خطا (فریم ۵۱) در دنباله آزمون "Suzie" را نشان می‌دهند (ماقروبلک‌های تخریب شده با سطح روشنایی صفر جایگزین شده‌اند). فریم‌های بازسازی شده با روش‌های AVE، TR، BMA، MED و SOM و روش پیشنهادی به ترتیب در شکل‌های (۶-ج) تا (۶-و) نشان داده شده‌اند. به طور مشابه شکل‌های (۷-ج) تا (۷-و) موارد فوق را برای فریم ۲۴ از دنباله آزمون "Bus" را نشان می‌دهد. همان‌طور که از شکل‌های مذکور مشاهده می‌شود، روش اختفای خطا پیشنهادی نتایج ذهنی و عینی بهتری را نسبت به روش‌های دیگر ارائه می‌دهد.

تخمین زن RBF صرفاً در هنگام وجود حرکات سریع و غیرعادی در ویدئو، روش پیشنهادی در عین حال که زمان محاسبات را بسیار ناچیز افزایش می‌دهد، قادر است بردارهای حرکت آسیب‌دیده در این نواحی را با دقت خوب تخمین بزند. ویژگی دیگر روش پیشنهادی، مصالحه بین کیفیت ویدئوی بازسازی شده و پیچیدگی محاسبات (با تغییر سطح آستانه Th) است. نتایج حاصل از پیاده‌سازی نشان می‌دهد که روش پیشنهادی نسبت به روش‌های متداول PSNR موجود، هم از لحاظ کیفیت بصری و هم از نظر مقدار برتری دارد؛ بهطوری که در بعضی از فریم‌ها مقدار میانگین PSNR برای دنباله‌های مختلف آزمون در نرخ اتلاف ماکروبلاک ۱۰٪ حدود ۱/۵dB نسبت به روش BMA افزایش نشان می‌دهد.



(شکل ۶): مقایسه کیفیت ویدئوی بازسازی شده برای فریم ۵۱ در دنباله آزمون "Suzie" با میانگین نرخ اتلاف ۱۰٪. (الف: تصویر تحریب شده، ب: تصویر اصلی، ج: تصویر بازسازی شده با روش SOM، د: تصویر بازسازی شده با روش BMA، ه: تصویر بازسازی شده با روش TR، و: تصویر بازسازی شده با روش پیشنهادی).

حرکت استفاده می‌کنند، باید همبستگی بین ماکروبلاک‌ها زیاد باشد تا عملکرد قابل قبولی ارائه کنند. در مقابل، روش پیشنهادی با بهره‌گیری از خواص غیرخطی شبکه‌های عصبی می‌تواند بردارهای حرکت آسیب‌دیده در این نواحی را با دقت بیشتر تخمین بزند.

جهت ارزیابی پیچیدگی محاسبات روش پیشنهادی، زمان اجرای روش‌های SOM، BMA و پیشنهادی BMA اندازه‌گیری شد (از بین روش‌های متداول، روش BMA بیشترین زمان اجرا دارد). زمان بازسازی هر ماکروبلاک برای دنباله‌های مختلف آزمون در جدول (۲) آمده است. متوسط این زمان در روش پیشنهادی برای دنباله‌های آزمون مورد استفاده در سه نرخ اتلاف ماکروبلاک برابر با ۰.۵٪، ۰.۵٪ و ۰.۲٪ به میزان ناچیز (۵/۷۳۳۱ میلی ثانیه) از روش BMA بیشتر است. به هر حال، روش پیشنهادی می‌تواند کیفیت خیلی بهتری را در نواحی حرکت بالا و غیرعادی ارائه دهد، بهطوری که در بعضی از فریم‌ها مقدار میانگین PSNR دنباله‌های مختلف آزمون در نرخ اتلاف ماکروبلاک ۱۰٪ حدود ۱/۵dB نسبت به روش BMA افزایش نشان می‌دهد. از طرفی زمان بازسازی هر ماکروبلاک در روش SOM به میزان ۹۹/۹۶۱ میلی ثانیه نسبت به روش BMA و ۲۶۴/۱۴ میلی ثانیه نسبت به روش پیشنهادی بیشتر است که عیب عمده‌ای برای این روش محسوب می‌گردد. این بدان علت است که در روش SOM صرفاً نظر از ماهیت دنباله ویدئو، همواره از روش شبکه‌های عصبی استفاده می‌شود که این پیچیدگی محاسبات آن را زیاد می‌کند. همچنین یک مصالحه بین کیفیت ویدئوی بازسازی شده و پیچیدگی محاسبات (با تغییر سطح آستانه Th) وجود دارد. درنتیجه روش پیشنهادی می‌تواند به عنوان یک روش با پیچیدگی محاسبات کم و عملکرد PSNR قابل قبول در بین روش‌های موجود حتی در کاربردهای بی‌درنگ نیز مورد استفاده قرار گیرد.

## ۶- نتیجه‌گیری

در این مقاله یک روش اختفای خطای زمانی جدید برای ارسال ویدئو در محیط‌های مستعد خطا با استفاده از شبکه عصبی RBF ارائه شد. در روش پیشنهادی بر اساس مقدار  $\min(\|Ai\|)$  بهطور پویا یکی از دو روش تخمین زن RBF و روش BMA برای تخمین بردارهای حرکت ماکروبلاک‌های آسیب‌دیده استفاده می‌گردد. بهدلیل به کارگیری

فصلنامه  
پژوهیزی دارویی

Ghanbari, M., 1993. Cell-loss Concealment in ATM Video Codes, IEEE Trans. Circuits Sys., Video Technol., Vol. 3, pp. 238-247.

Pyun, J.-Y., Choi, H.-J., 2008. Error Concealment Aware Error Resilient Video Coding over Wireless Burst-Packet-Loss Network, Consumer Comm. And Networking Conf., CCNC 5th IEEE, pp. 824-828.

Suh, J. W., Ho, Y. S., 1999. Recovery of motion vector for error concealment, Proc. IEEE Tencon, pp. 750–753.

Suh, J. W., Ho, Y. S., 1997. Error concealment based on directional interpolation, IEEE Transactions on Consumer Electronics, Vol. 43, No. 3, pp. 295-302.

Narura, A., Lim, J. S., 1997. Error concealment techniques for an all-digital high-definition television system, in Proc. SPIE Conf. Visual Communication Image Processing, Cambridge, MA, pp. 304–315.

Lam, W. M., Reibman, A., Liu, R. B., 1993. Recovery of Lost or Erroneously Received Motion Vectors, IEEE International Conference on Acoustics, Speech, and Signal Processing, Vol. 5, pp. 417-420.

Chen, Y., et. al., 2008. Video Error Concealment Using Spatio-Temporal Boundary Matching and Partial Differential Equation, IEEE Trans. On Multimedia, Vol. 10, No. 1, pp. 2-15.

Huang, Z., Yi, B., 2009. A New Temporal Error Concealment Algorithm for H.264 Using Motion Strength of Neighboring Area, First International Workshop on Education Technology and Computer Science, pp. 569-572.

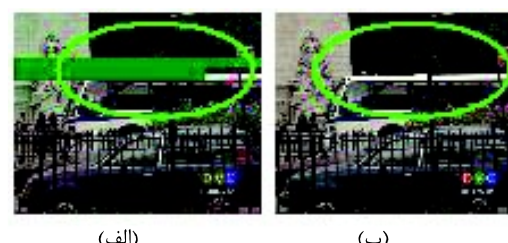
Zhang, J., Liu, M., 2010. A New Temporal Error Concealment Scheme Based on Multiple Reference Frames, International Conference on Multimedia Technology, pp. 1-4.

Pongpadpinit, S., 2009. Motion Vector Recovery for Error Concealment Based on Angular Similarity, Digital signal Processing, 2009 16th International Conference on, pp. 1-9.

Huang, Y.-L., Lien, H.-Y., 2006. Temporal Error Concealment for MPEG Coded Video Using a Self-Organizing Map, IEEE Trans. on Consumer Electronics, Vol. 52, No. 2, pp. 676-681.

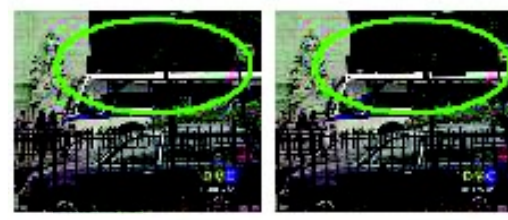
Kohonen, T., 1988. Self-Organization and Associative Memory, 2 ed. New York: Springer-Verlag.

Shao S.-C., Chen J.-H., 2011. A novel error concealment approach based on general regression neural network, International Conference on Consumer Electronics, Communications and Networks (CECNet), pp. 4679 – 4682.



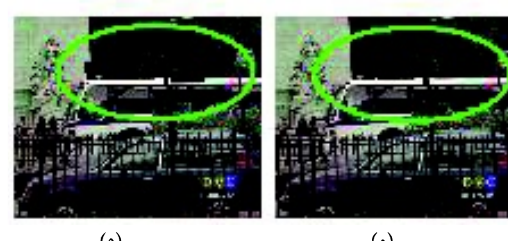
(الف)

(ب)



(ج)

(د)



(ه)

(و)

شکل ۷: مقایسه کیفیت ویدئوی بازسازی شده برای فریم ۲۴ در دنباله آزمون "Bus" با میانگین نرخ اتلاف ۱۰٪. (الف): تصویر تخریب شده، ب: تصویر اصلی، ج: تصویر بازسازی شده با روش TR، د: تصویر بازسازی شده با روش BMA، ه: تصویر بازسازی شده با روش SOM، و: تصویر بازسازی شده با روش پیشنهادی.

جدول ۲: متوسط زمان (msec) بازسازی هر ماکروبلاک برای دنباله های آزمون

دنباله	روش	متوسط نرخ اتلاف ماکروبلاک		
		اختفای خطای ویدئو	%۱۰	%۲۰
Suzie	BMA	۱/۰۳۴۷	۰/۰۷۲۲	۰/۰۹۸۶
	SOM	۳۳/۱۵۰.۶	۲۲/۷۸۱۱	۳۲/۶۰.۹۹
	روش پیشنهادی	۱۹/۰۰۱۳	۱۴/۰۹۴۰	۱۲/۱۳۸۴
Football	BMA	۱/۱۱۹۶	۰/۷۲۱۵	۰/۶۶۱۱
	SOM	۱۶/۶۵۳۲	۱۵/۹۱۰.۹	۱۵/۹۷۵۳
	روش پیشنهادی	۹/۸۹۷۱	۵/۳۷۲۱	۳/۸۲۵۶
Bus	BMA	۱/۱۳۶۸	۱/۱۸۸۹	۰/۹۹۰.۴
	SOM	۳۲/۶۵۳۲	۳۵/۸۷۲۲	۳۲/۱۱۴۱
	روش پیشنهادی	۵/۸۹۹۸	۴/۱۷۷۸	۲/۳۳۳۹

## ۷- مراجع

Haskell, P., Messerschmitt, D., 1992. Resynchronization of motion compensated video affected by ATM cell loss, IEEE International Conference on Acoustics, Speech, and Signal Processing, Vol. 3 pp.545-548.

داده‌های ویدئو در برابر خطاهای کانال، اختفای خطای  
داده‌های تصویری و واترمارکینگ تصاویر دیجیتال می‌باشد.

نشانی رایانمۀ ایشان عبارت است از:

hghaneiy@yazd.ac.ir

Liu, Y., 2006. Create Stable Neural Networks by Cross-Validation," IEEE International Joint Conference on Neural Networks, IJCNN '06.

قانعی حسین؛ خادمی مرتضی، ۱۳۹۰. روشی جدید برای  
اختفای خطای زمانی برای دنباله‌های ویدئو با استفاده از  
شبکه عصبی GRNN، نوزدهمین کنفرانس مهندسی برق  
ایران، تهران، ص ۲۷۶۹-۲۷۶۴.

ChenJ.-H., Shao S.-C., ChenW.-H., 2011. Improving temporal error concealment by GRNN in video communication, International Conference on Multimedia and Expo (ICME), pp. 1-4.

Abdul H. S., 2002. Compressed video communications, John Wiley and Sons.

Park,J.,Sandberg, I. W.,1991.Universal Approximation Using Radial Basis Function Networks, Neural Computation, Vol. 3, pp. 247-257.

Park, J., Sandberg, I. W., 1993. Approximation and Radial Basis Function Networks, Neural Computation, Vol. 5, pp. 305-316.

Sun, M. T., Reibman, A. R., Dekker, M., 2001. Compressed Video over Networks, New York.

Wang, Y.,Zhu, Q.-F.,1998.Error Control and Concealment for Video Communication: A Review, Proc. IEEE, Vol. 86, No. 5, PP. 974-997.

Barjatya, A.,2004. Block Matching Algorithms for Motion Estimation, DIP 6620 Spring.

### حسین قانعی یخدان مدارک



کارشناسی و کارشناسی ارشد خود را به ترتیب در رشته مهندسی برق الکترونیک و مخابرات سیستم از دانشگاه صنعتی اصفهان و دانشگاه صنعتی خواجه نصیرالدین طوسی دریافت کردند. ایشان در سال ۱۳۸۸ دکترای خود را در رشته مهندسی برق مخابرات (سیستم) در دانشگاه فردوسی مشهد به اتمام رساندند. وی در حال حاضر استادیار گروه مخابرات دانشکده مهندسی برق و کامپیوتر دانشگاه یزد می‌باشد. زمینه‌های پژوهشی مورد علاقه ایشان پردازش تصاویر ثابت و متحرک (ویدئو)، مقاوم‌سازی

فصلنامه  
پژوهی

سال ۱۳۹۲ شماره ۱ پیاپی ۱۹

۱۲